

بررسی عملکرد دانه و پایداری عملکرد ارقام گندم معرفی شده در بیش از نیم قرن اخیر در ایران

هادی علیپور^{*}، حسین عبدالی^۲، یوسف رحیمی^۳ و محمدرضا بی‌همتا^۴

تاریخ پذیرش: ۱۳۹۸/۰۶/۳۰

تاریخ دریافت: ۱۳۹۸/۰۲/۳۰

چکیده

اصلاح برای عملکرد و پایداری عملکرد همواره از اصلی‌ترین اهداف بهنژادگران بوده است. در تحقیق حاضر، عملکرد و پایداری عملکرد رقم ۵۱ گندم معرفی شده در بیش از نیم قرن اخیر در قالب طرح بلوک‌های کامل تصادفی با دو تکرار طی پنج سال زراعی ارزیابی شد. نتایج تجزیه واریانس نشان داد که برهمکنش ژنتیپ × محیط معنی‌دار بود و بنابراین الگوی تغییرات آن با استفاده از روش گرافیکی مورد تجزیه و تحلیل قرار گرفت. بر اساس نتایج تجزیه GGE-Biplot، مولفه اول به عنوان مولفه ژنتیپ و مولفه دوم به عنوان مولفه برهمکنش ژنتیپ × محیط به ترتیب ۴۱/۹۸ و ۲۸/۲۰ درصد از تغییرات موجود در کل داده‌ها را توجیه کردند. الگوی همزمان عملکرد و پایداری عملکرد، ارقام موردنظر بررسی را به سه گروه مطلوب، متوسط و نامطلوب تقسیم کرد. در میان ارقام موردنظر بررسی، ارقام مهدوی، مارون و سیستان، عملکرد و پایداری عملکرد بالا و ارقام شاهپسند و زاگرس، عملکرد و پایداری عملکرد پایینی نشان دادند. نتایج این مطالعه نشان داد که بهنژادگران با گذشت زمان به طور تقریباً موفقیت‌آمیزی توانسته‌اند ژنتیپ‌هایی با عملکرد بالا و پایداری مطلوب را معرفی کنند، اما بدلیل پیچیدگی صفات عملکرد و پایداری عملکرد، ۱۰ درصد از ژنتیپ‌ها با عملکرد کم و ۳۰ درصد با پایداری ضعیف در بازه زمانی سال‌های ۱۳۶۵-۸۵ معرفی شده‌اند که لزوم انجام آزمون‌های دقیق‌تر در آینده را تایید می‌کند. ژنتیپ‌های زمستانه در مقایسه با ژنتیپ‌های بهاره و دومنظوره، عملکرد و پایداری عملکرد پایین‌تر نشان دادند. از آنجایی که ارقام بهاره در کشت پاییزه عملکرد بالایی نشان دادند، بنابراین توصیه می‌شود این ارقام به صورت پاییزه نیز کشت شوند.

واژه‌های کلیدی: بای‌پلات GGE، برهمکنش ژنتیپ × محیط، سازگاری، طرح موزاییکی

- ۱- استادیار، گروه تولید و ژنتیک گیاهی، دانشکده کشاورزی و منابع طبیعی، دانشگاه ارومیه، ارومیه، ایران
- ۲- دانشجوی دکتری، گروه تولید و ژنتیک گیاهی، دانشکده کشاورزی و منابع طبیعی، دانشگاه ارومیه، ارومیه، ایران
- ۳- دانشجوی دکتری، گروه زراعت و اصلاح نباتات، پردیس کشاورزی و منابع طبیعی، دانشگاه تهران، کرج، ایران
- ۴- استاد، گروه زراعت و اصلاح نباتات، پردیس کشاورزی و منابع طبیعی، دانشگاه تهران، کرج، ایران

* نویسنده مسئول: alipourhadi64@gmail.com

مقدمه

روش AMMI بر مبنای تجزیه به مولفه‌های اصلی و روش GGE biplot بر مبنای تجزیه به مقادیر منفرد از جمله روش‌های چندمتغیره هستند. روش GGE biplot با استفاده از رگرسیون مکانی با ترکیب اثر اصلی ژنتیپ (G) و برهمکنش ژنتیپ × محیط (GE) ابداع شد و برای نمایش گرافیکی اثر همزمان ژنتیپ و ژنتیپ × محیط در آزمایش‌های چندمحیطی استفاده شد (Yan *et al.*, 2000). حذف اثر محیط برای به دست آوردن نتایج قابل اعتماد حائز اهمیت است، زیرا این اثر غالباً بزرگ است و عاملی نیست که بتوان آن را کنترل کرد و به عبارت دیگر، قابل بهره‌برداری نیست. عموماً تفسیر بای‌پلات‌های GGE ساده است، اما لافونت و همکاران (Laffont *et al.*, 2007) در پاسخ به این پرسش که محورهای بای‌پلات چه مقدار از تغییرات ژنتیپ و یا برهمکنش ژنتیپ × محیط را توجیه می‌کنند، بین تقسیم‌بندی مجموع مربعات کل با دو روش تجزیه به مقادیر منفرد و تجزیه واریانس ارتباطی برقرار کردن. این ارتباط به صورت آماره‌های عددی و طرح موزاییکی به شکل ساده‌تر نشان داده شد و در نهایت به عنوان ابزاری جدید برای ساده کردن تفسیر نتایج روش GGE biplot معرفی شد. لافونت و همکاران (Laffont *et al.*, 2013) این ارتباط را برای بای‌پلات‌های ژنتیپ بعلاوه ژنتیپ × بلوک محیطی (GGB biplot) نیز برقرار کردن و بر سودمندی آن تاکید داشتند.

تحقیقین تجزیه GGE را برای ارزیابی پایداری عملکرد ژنتیپ‌ها سودمند یافته‌اند. به همین منظور، کاربرد GGE biplot در گزینش ارقام مناسب برای گندم در پژوهش‌های زیادی مورد استفاده قرار گرفته است (Mohammadi *et al.*, 2016; Esmaeilzadeh *et al.*, 2016; Moghaddam *et al.*, 2018; Jafari and Farshadfar, 2018). بر این اساس، هدف از این پژوهش نیز ارزیابی عملکرد و پایداری عملکرد دانه ژنتیپ‌های گندم با استفاده از روش گرافیکی GGE biplot و تعیین ارتباط عملکرد و پایداری عملکرد ژنتیپ‌های مورد مطالعه با سال معرفی و عادت رشدی آن‌ها است.

مواد و روش‌ها

مواد گیاهی این پژوهش، تعداد ۵۱ رقم گندم بودند که از نظر عملکرد دانه طی پنج سال زراعی شامل ۱۳۹۱-۹۲، ۱۳۹۲-۹۳، ۱۳۹۳-۹۴، ۱۳۹۴-۹۶، ۱۳۹۵-۹۷ و ۱۳۹۶-۹۷ در مزرعه تحقیقاتی پردیس کشاورزی و منابع طبیعی دانشگاه تهران-

گندم (*Triticum aestivum* L.) در بین محصولات زراعی مختلف، از مهم‌ترین غلات در سطح جهان و نیز در ایران به شمار می‌آید. با توجه به نقش این غله در تأمین نیاز غذایی افراد جامعه، اصلاح برای افزایش عملکرد دانه گندم می‌تواند نقش اساسی در تضمین امینت غذایی داشته باشد (Alipour *et al.*, 2017). افزایش عملکرد، اصلی‌ترین هدف بهزادگران است. اما مطالعات نشان می‌دهند که ارقام با عملکرد بالا ممکن است همیشه و در تمام محیط‌ها پایدار نباشند. این موضوع به برهمکنش ژنتیپ × محیط مربوط می‌شود که به همراه اثر محیط و اثر ژنتیپ از عوامل De Leon *et al.*, 2016 تأثیرگذار در نمود فنتیپی صفت هستند (De Leon *et al.*, 2016). برهمکنش ژنتیپ × محیط، اصلاح برای افزایش عملکرد را با چالشی جدی مواجه ساخته است و وجود آن، انجام آزمایش‌های چندمحیطی (در مکان‌ها و سال‌های مختلف) را ایجاب می‌کند. با وجود آن که تنوع مکانی و زمانی هر دو بیانگر تنوع محیطی هستند، اما ثبات عملکرد در هر کدام دارای اهداف و مفاهیم مختلف است. برخی ثبات عملکرد در مکان‌های مختلف را سازگاری و برخی دیگر ثبات عملکرد در سال‌های مختلف را پایداری تعریف کرده‌اند (Lin and Binns, 1994). با این حال لین و بینز (Lin and Binns, 1988) مفهومی از پایداری با جزء قابل پیش‌بینی برای مکان‌ها و جزء غیرقابل پیش‌بینی برای سال‌ها ارایه و اظهار کرده‌اند که پایداری در طول سال‌ها دارای اهمیت بیشتری است. این نوع پایداری از نظر زارعین نیز بسیار مهم است (Yan and Kang, 2002). همچنین سازگاری خصوصی ژنتیپ‌ها و ارزیابی محیط‌های کلان تنها زمانی قابل اطمینان است که الگوهای مشاهده شده طی چندین سال تکرار پذیر باشند (Dia *et al.*, 2016). بنابراین بررسی گسترده در طول سال‌ها برای اصلاح ارقام مفید و امری ضروری است (Macholdt *et al.*, 2019).

طی صد سال و به‌ویژه نیم قرن اخیر، روش‌های آماری گوناگونی برای مطالعه برهمکنش ژنتیپ × محیط و تعیین ژنتیپ‌های پایدار ارایه شده است (Elias *et al.*, 2016). این روش‌ها به دو دسته اصلی تک‌متغیره و چندمتغیره تقسیم می‌شوند. اگرچه محاسبات و استفاده از روش‌های تک‌متغیره آسان‌تر است، ولی این روش‌ها نمی‌توانند ماهیت پیچیده و چندبعدی برهمکنش را به‌خوبی تفسیر کنند. از این‌رو، استفاده از روش‌های چندمتغیره برای رفع این مشکل پیشنهاد شده است (Moreno-Gonzalez *et al.*, 2004).

الوند و شاهپسند به خود اختصاص دادند. همچنین ژنتیپ‌ها در سال دوم عملکرد بیشتر و در سال پنجم عملکرد کمتری از خود نشان دادند (جدول ۲). بدون شک این امر ناشی از شرایط آب و هوایی مختلف می‌باشد و چنانچه قبل نیز گزارش شده است، تغییرات آب و هوایی از سالی به سال Macholdt and Honermeier, 2018. جالب توجه این است که در سال سوم با وجود بارندگی کمتر از سال پنجم، عملکرد بیشتری مشاهده شد که می‌تواند به پراکنش زمانی مناسب بارش‌ها و نیز آبیاری مزرعه در تحقیق حاضر مرتبط باشد. این نتایج نشان می‌دهند که تحت شرایط طبیعی، سایر عوامل آب و هوایی می‌توانند نقش بیشتری داشته باشند و توجه بیش از حد به بارندگی می‌تواند گمراه کننده باشد.

معنی دار شدن برهمکنش ژنتیپ × محیط به این مفهوم است که واکنش ژنتیپ‌ها در محیط‌های مختلف متفاوت بوده و در مقدار یا ترتیب عملکرد دانه ژنتیپ‌ها در سال‌های مختلف نوساناتی وجود داشته است. سهم مجموع مربعات آثار اصلی محیط و ژنتیپ و برهمکنش بین این دو از واریانس کل بهترتیپ برابر با $40/87$ و $27/43$ درصد بود (جدول ۳). بزرگی اثر محیط بیانگر متفاوت بودن محیط‌ها است که باعث ایجاد برهمکنش ژنتیپ × محیط معنی دار و ایجاد تنوع در عملکرد دانه ژنتیپ‌ها شده است. این اثر در آزمایش‌های چندمحیطی عموماً بزرگ است و با Arzayi and Zobel, 1996. تأثیر کم ژنتیپ در توجیه تنوع موجود به احتمال قوی به این علت است که طی سال‌های گذشته در برنامه‌های بهنژادی، ژنتیپ‌های برتر از نظر عملکرد انتخاب شده‌اند و این ژنتیپ‌های برتر نقش کمتری نسبت به محیط و برهمکنش ژنتیپ × محیط در توجیه تنوع موجود در آزمایش‌های سازگاری و پایداری عملکرد داشته‌اند. به عبارت دیگر، در اثر گزینش‌های متواتی توسط بهنژادگران از میزان تنوع بهطور چشم‌گیری کاسته شده است. در نهایت سهم برهمکنش ژنتیپ × محیط نسبت به اثر ژنتیپ حدود سه برابر بود. این دست‌آورد با نتایج دیگر پژوهش‌گران هماهنگ بود (Mohammadi et al., 2012; Luo et al., 2015; Vaezi et al., 2017).

برهمکنش ژنتیپ × محیط معنی دار در گندم در مطالعات گزارش (Najafian et al., 2010; Jafari and Farshadfar, 2018) و به موضوعی تقریباً بدیهی تبدیل شده است. با وجود معنی داری برهمکنش ژنتیپ × محیط،

کرج، با طول جغرافیایی 58° درجه 58° دقیقه شرقی و عرض جغرافیایی 35° درجه و 56° دقیقه شمالی در قالب طرح بلوك‌های کامل تصادفی با دو تکرار تحت شرایط آبیاری معمولی با شش نوبت آبیاری مورد ارزیابی قرار گرفتند. ابعاد کرت‌ها شامل چهار خط به طول یک متر در نظر گرفته شدند که فاصله بین ردیف‌ها 20 سانتی‌متر و فاصله بین بوته‌ها درون ردیف‌ها پنج سانتی‌متر بود. مشخصات ژنتیپ‌ها و ویژگی‌های آب و هوایی سال‌های مورد مطالعه به ترتیب در جدول‌های ۱ و ۲ ارایه شده است.

پس از بررسی همگنی واریانس آزمایش‌های مختلف، تجزیه مرکب انجام شد که با توجه به معنی دار شدن برهمکنش ژنتیپ × محیط، تجزیه گرافیکی با استفاده از روش GGE biplot بر اساس مدل زیر صورت گرفت:

$$\hat{Y}_{ij} - \mu - \beta_j = \lambda_1 \xi_{1i} \eta_{1j} + \lambda_2 \xi_{2i} \eta_{2j} + \varepsilon_{ij} \quad (2)$$

که در آن، \hat{Y}_{ij} عملکرد مورد انتظار ژنتیپ i در محیط j ، μ میانگین کل ژنتیپ‌ها، β_j اثر اصلی محیط زام، λ_1 و λ_2 بهترتیپ مقادیر منفرد اولین و دومین مؤلفه اصلی، ξ_{1i} و ξ_{2i} بهترتیپ بردارهای ویژه ژنتیپ i برای دو مؤلفه η_{1j} و η_{2j} بردار باقیمانده مدل هستند (Yan and Kang, 2002). با پلات با استفاده از الگوی ارزیابی بر اساس ترکیب همزمان عملکرد دانه با پایداری عملکرد ترسیم شد. تمامی تجزیه‌ها داده‌ها با استفاده از نرم‌افزار R و بسته‌های GGEBiplotGUI و Agricolae انجام و طرح موزاییکی GGE biplot نیز بر اساس دستورهای ارایه شده توسط لافونت و همکاران (Laffont et al., 2007) در همین نرم‌افزار رسم شد.

نتایج و بحث

پس از انجام آزمون همگنی واریانس خطاهای آزمایشی توسط آزمون بارتلت و اطمینان از صادق بودن این فرض، تجزیه واریانس مرکب انجام شد. نتایج نشان داد که تفاوت معنی داری بین محیط‌های آزمایش، بین ژنتیپ‌ها و برهمکنش ژنتیپ × محیط وجود دارد (جدول ۳). تفاوت معنی دار بین ژنتیپ‌ها نشان‌دهنده اختلاف ژنتیکی بین ژنتیپ‌های مورد بررسی می‌باشد که به راحتی با مقایسه میانگین عملکرد ژنتیپ‌ها در جدول ۱ قابل مشاهده است. میانگین عملکرد ژنتیپ‌های مورد بررسی برابر با $2/36$ گرم در بوته بود که بیشترین و کمترین عملکرد را بهترتیپ ارقام

توجیه پایداری ژنتیک‌ها و الگوی واکنش آن‌ها به محیط‌ها نمی‌باشد (Whaley and Eskandari, 2019). بنابراین، از تجزیه گرافیکی برهمنکنش ژنتیک × محیط به روش GGE biplot که در آن اثر محیط لحاظ نمی‌شود استفاده شد.

انتخاب و توصیه یک رقم برای کلیه شرایط بایستی با احتیاط انجام و سعی شود ژنتیکی انتخاب شود که با وجود پرمحصولی، نوسان عملکرد کمتری از محیطی به محیط دیگر داشته و پایدار باشد. با توجه به وجود این برهمنکنش، تجزیه واریانس در عین فراهمی اطلاعات بسیار مهم، قادر به

جدول ۱- مشخصات ارقام مورد مطالعه در این تحقیق

Table 1. Characteristics of the studied genotypes in this research

| No. | Genotype | Introduced year | Growing habit | Yield (g/plant) | No. | Genotype | Introduced year | Growing habit | Yield (g/plant) |
|-----|----------|-----------------|---------------|-----------------|-----|-------------|-----------------|---------------|-----------------|
| 1 | Adl | 1341 | Spring | 2.28 | 27 | Kavir | 1376 | Spring | 2.59 |
| 2 | Akbari | 1385 | Spring | 2.71 | 28 | Khazar1 | 1352 | Spring | 2.34 |
| 3 | Alborz | 1357 | Spring | 2.33 | 29 | Mahdavi | 1374 | Spring | 2.72 |
| 4 | Alvand | 1374 | Facultative | 2.80 | 30 | Maroon | 1370 | Spring | 2.58 |
| 5 | Arta | 1385 | Spring | 2.43 | 31 | Marvdasht | 1378 | Spring | 2.56 |
| 6 | Atrak | 1374 | Spring | 2.28 | 32 | Moghan1 | 1352 | Spring | 2.42 |
| 7 | Azadi | 1358 | Facultative | 2.63 | 33 | Moghan2 | 1353 | Spring | 2.18 |
| 8 | Azar | 1335 | Winter | 1.87 | 34 | Moghan3 | 1385 | Spring | 2.16 |
| 9 | Bam | 1385 | Spring | 2.65 | 35 | Navid | 1369 | Facultative | 2.45 |
| 10 | Bayat | 1355 | Spring | 2.37 | 36 | Naz | 1357 | Spring | 2.62 |
| 11 | Biston | 1359 | Spring | 1.93 | 37 | Nicknejad | 1374 | Spring | 2.18 |
| 12 | Chamran | 1376 | Spring | 2.46 | 38 | Pishtaz | 1381 | Spring | 2.53 |
| 13 | Darab2 | 1374 | Spring | 2.58 | 39 | Roshan | 1337 | Spring | 2.77 |
| 14 | Darya | 1385 | Spring | 2.30 | 40 | Sabalani | 1360 | Facultative | 2.10 |
| 15 | Dez | 1381 | Spring | 2.35 | 41 | Sepahan | 1385 | Spring | 2.34 |
| 16 | DN11 | - | - | 2.17 | 42 | Shahi | 1346 | Winter | 2.34 |
| 17 | Falat | 1369 | Spring | 2.71 | 43 | Shahpassand | 1321 | Winter | 1.77 |
| 18 | Fong | - | - | 2.30 | 44 | Shahryar | 1381 | Winter | 2.34 |
| 19 | Ghods | 1368 | Spring | 2.44 | 45 | Shiraz | 1381 | Spring | 2.49 |
| 20 | Golestan | 1365 | Spring | 2.35 | 46 | Shiroodi | 1376 | Spring | 2.52 |
| 21 | Hamoon | 1381 | Spring | 2.45 | 47 | Siosson | 1373 | - | 2.74 |
| 22 | Inia | 1347 | Spring | 2.09 | 48 | Sistan | 1385 | Spring | 2.57 |
| 23 | Karaj1 | 1352 | Facultative | 2.19 | 49 | VEE/NAC | 1376 | Spring | 1.84 |
| 24 | Karaj2 | 1352 | Winter | 2.23 | 50 | Zagros | 1375 | Spring | 2.00 |
| 25 | Karaj3 | 1355 | Winter | 2.15 | 51 | Zarrin | 1374 | Facultative | 2.34 |
| 26 | Kaveh | 1359 | Spring | 2.08 | - | - | - | - | - |

جدول ۲- پارامترهای آب و هوایی سال‌های مورد مطالعه

Table 2. Climatic parameters of studied years

| No. | Year | pr | tmin | tmax | tm | rh | sc | Grain yield |
|--------|---------|--------|------|-------|-------|-------|------|-------------|
| Year 1 | 2012-13 | 207.44 | 6.63 | 18.27 | 12.20 | 50.58 | 7.31 | 2.61 |
| Year 2 | 2013-14 | 223.31 | 6.20 | 17.75 | 11.77 | 50.20 | 7.40 | 2.94 |
| Year 3 | 2014-15 | 153.15 | 6.68 | 18.52 | 12.24 | 47.63 | 7.51 | 2.58 |
| Year 4 | 2016-17 | 215.67 | 6.08 | 17.34 | 11.85 | 50.33 | 7.65 | 2.15 |
| Year 5 | 2017-18 | 203.11 | 6.97 | 18.67 | 12.65 | 49.36 | 7.61 | 1.55 |

pr, total precipitation; tmin, minimum temperature; tmax, maximum temperature; tm, average temperature; rh, average relative humidity; sc, sun clock.

جدول ۳- نتایج تجزیه واریانس مرکب بر اساس طرح بلوک‌های کامل تصادفی

Table 3. The results of combined analysis of variance in randomized complete block design

| Source of variations | df | Sum of squares | Mean squares | SST % |
|---------------------------|-----|----------------|--------------|-------|
| Environment | 4 | 116.65 | 29.16** | 40.87 |
| Replication (Environment) | 5 | 5.24 | 1.05 | 1.84 |
| Genotype | 50 | 30.90 | 0.62*** | 10.83 |
| Genotype × Environment | 200 | 78.29 | 0.39*** | 27.43 |
| Experimental error | 250 | 54.32 | 0.22 | 19.03 |
| Total | 509 | 285.40 | - | - |
| CV (%) | - | 19.83 | - | - |

** and ***: Significant at 1% and 0.1% probability levels, respectively.

SST%: Percentage relative to total sum of squares.

به میزان ناچیزی ناشی از ژنتیپ می‌باشد و تقریباً می‌توان اظهار کرد که بیشتر تغییرات موجود در مولفه دوم ناشی از برهمکنش ژنتیپ × محیط (مناطق روشن) است. بنابراین می‌توان مولفه اول را مولفه ژنتیپ و مولفه دوم را مولفه برهمکنش ژنتیپ در محیط نام‌گذاری کرد. به این ترتیب، ارزیابی ژنتیپ‌ها در محور نخست می‌تواند در رابطه با عملکرد و ارزیابی آن‌ها در محور دوم می‌تواند در باره پایداری اطلاعاتی را فراهم کند. لازم به توضیح است که واریانس‌های موجود در جدول ۴ با توجه به اینکه از جدول دوطرفه ژنتیپ × محیط یا به عبارتی دیگر از میانگین تکرارها حاصل شده‌اند، نصف مقدار واریانس موجود در جدول تجزیه مرکب هستند.

یکی از ویژگی‌های بسیار مهم GGE biplot نمایش همزمان عملکرد و پایداری است (Yan and Kang, 2002). این همزمانی از آن جهت حائز اهمیت است که در حالت کلی بدون در نظر گرفتن سازگاری خصوصی، ژنتیپ‌هایی با پایداری بالا و عملکرد پایین همانند ژنتیپ‌هایی با عملکرد بالا و پایداری پایین نامطلوب هستند. بنابراین، ضروری است که بهزادگران به هر دو مقوله توجه داشته باشند تا از انتخاب ژنتیپ‌های مطلوب از نظر عملکرد و پایداری اطمینان حاصل یابند.

نتایج نشان داد که دو مولفه اول و دوم به ترتیب ۴۲ و ۲۸ درصد از تغییرات کل داده‌ها را توجیه می‌کنند (جدول ۴). تفسیرهای حاصل از این بای‌پلات با درصد توجیه ۷۰ درصدی می‌تواند به طور نسبی قابل اطمینان باشد، چرا که این بای‌پلات نماینده توجیه‌پذیر و قابل قبولی از جدول دوطرفه ژنتیپ × محیط بوده و به صورت نیکویی، برازش یافته است. بنابراین ساختار موجود در جدول دوطرفه‌ای که اثر محیط (سال) از آن برچیده شده است، توسط بای‌پلات می‌تواند مشاهده شود و استفاده از مولفه‌های اضافی نه تنها منجر به از بین رفتن دید دو بعدی و ساده می‌شود، بلکه می‌تواند ساختارهای کاذبی ارایه دهد (Laffont et al., 2007; Najafi Mirak et al., 2007). نجفی میرک و همکاران (2019) نیز در بررسی پایداری ارقام و لاین‌های امیدبخش گندم دوروم، درصد توجیه تغییرات توسط GGE biplot را تقریباً ۷۶ درصد گزارش و این میزان را حاکی از معتبر بودن بای‌پلات عنوان کردند. توجیه تغییرات توسط مولفه‌ها را می‌توان از طرح موزاییکی موجود در شکل ۱ نیز مشاهده کرد، جایی که مربع موزاییکی ۱۰۰ درصد از تغییرات کل (G+GE) را توجیه می‌کند.

اولین ستون مربوط به مولفه نخست است که بیش از نیمی از تغییرات آن ناشی از اثر اصلی ژنتیپ (مناطق سیاه رنگ) است، در حالی که واریانس توجیهی توسط مولفه دوم

جدول ۴- سهم مولفه‌های اصلی از واریانس G + GE

Table 4. Contribution of principal components from the G + GE variance

| Component | SSG | SSGE | Total | Percent |
|-----------|--------|--------|--------|---------|
| 1 | 12.525 | 10.389 | 22.914 | 42 |
| 2 | 1.136 | 14.259 | 15.395 | 28 |
| 3 | 0.102 | 7.236 | 7.338 | 13 |
| 4 | 1.293 | 3.467 | 4.760 | 9 |
| 5 | 0.394 | 3.791 | 4.185 | 8 |
| Total | 15.450 | 39.142 | 54.592 | 100 |
| Percent | 28 | 72 | 100 | - |



شکل ۱- طرح موزاییکی جهت نمایش سهم مولفه‌های اصلی از واریانس G+GE

Figure 1. Mosaic plot to show the contribution of the principal components from the G and GE variance

برای پایداری نیز همانند عملکرد، از خطوطی بهرنگ سیاه استفاده شد تا ژنوتیپ‌ها از نظر پایداری به سه قسمت تقسیم شوند. ژنوتیپ‌های واقع در بین دو خط سیاه کمرنگ دارای پایداری مطلوب، ژنوتیپ‌های موجود بین خطوط سیاه پررنگ و کمرنگ دارای پایداری متوسط و ژنوتیپ‌هایی که از خطوط سیاه پررنگ عبور کرده‌اند، دارای پایداری پایینی بودند. بنابراین، ارقام مهدوی، مارون و سیستان، مطلوب‌ترین و ارقام شاهپسند و زاگرس نامطلوب‌ترین ارقام به لحاظ عملکرد و پایداری شناخته شدند. همچنین، ارقام اکبری، داراب ۲، روشن و شیراز دارای عملکرد بالا و پایداری متوسط و ارقام الوند، بم و سیسون دارای عملکرد بالا و پایداری پایینی بودند (شکل ۲). اگرچه این الگو برای ارزیابی ژنوتیپ‌ها استفاده می‌شود، اما می‌توان از آن برای بررسی محیط‌ها نیز استفاده کرد. بر این اساس، سال اول و دوم عملکرد بالا، سال سوم عملکرد متوسط و سال چهارم و پنجم عملکرد پایینی داشتند. این رتبه‌بندی تا حدود زیادی مشابه جدول ۲ است و تفاوت‌ها ناشی از آن است که این بای‌پلات تمام تغییرات داده‌ها را توجیه نمی‌کند. همچنین سال‌های اول و دوم جزء محیط‌هایی بودند که ژنوتیپ‌ها در آن بیشترین تفکیک و بالاترین برهمکنش را نشان دادند. نتایج حاصل از شکل ۲ و تقسیم‌بندی ژنوتیپ‌ها در سه گروه بر اساس عملکرد و پایداری، به تفکیک بازه زمانی معرفی رقم در جدول ۵ و به تفکیک عادت رشدی در جدول ۶ ارایه شده است. بر طبق نتایج، در ۲۰ سال نخست، چهار رقم گندم معرفی شده است که از بین آن‌ها، رقم روشن دارای عملکرد مطلوب، رقم عدل دارای عملکرد متوسط و ارقام آذر

Average) AEC (environment coordination مشخص شده است، استفاده شد. این الگو امکان مقایسه ژنوتیپ‌ها را بر اساس عملکرد و پایداری تسهیل می‌کند، به این صورت که تصویر ارقام روی محور AEC تقریبی از عملکرد و فاصله آن‌ها از این محور تقریبی از پایداری است (Yan et al., 2007). همان‌طور که ملاحظه می‌شود، محور AEC هم‌راستا با محور افقی است، اما کمی با آن زاویه دارد، دلیل آن این است که مولفه دوم نیز بخش کمی از واریانس ژنوتیپ را توجیه می‌کند. بنابراین، در حالت کلی ارزیابی عملکرد ژنوتیپ‌ها با توجیه ۸۸/۴ درصد و ارزیابی پایداری ژنوتیپ‌ها با توجیه ۶۳ درصد صورت می‌گیرد (جدول ۴). بر این اساس، رتبه‌بندی ژنوتیپ‌ها بر اساس عملکرد نسبت به پایداری تا حدود زیادی به واقعیت نزدیک‌تر خواهد بود. خطی که از مبدأ بای‌پلات عبور می‌کند و عمود بر محور AEC است، ژنوتیپ‌ها را از نظر عملکرد به دو قسمت کم‌تر از متوسط (ژنوتیپ‌های سمت راست) و بیش‌تر از متوسط (ژنوتیپ‌های سمت چپ) تقسیم کرد. اما از آنجایی که هدف تقسیم ژنوتیپ‌ها از نظر عملکرد به سه قسمت بود، خطوط قرمز رنگی روی شکل ترسیم شدند و ژنوتیپ‌های موجود در میان دو خط قرمز عملکرد متوسط و ژنوتیپ‌های موجود در سمت چپ و راست این خط به ترتیب عملکرد مطلوب و پایین داشتند. همان‌طور که پیش‌تر اشاره شد، ژنوتیپ‌هایی که مقادیر بالایی نسبت به محور AEC در هر دو جهت دارند، دارای برهمکنش ژنوتیپ × محیط بیش‌تر و در نتیجه پایداری کم‌تری خواهند بود.

باže زمانی ۲۰۰۲ الی ۲۰۱۴ نتیجه گرفتند که برنامه‌های اصلاح گندم در سرتاسر دنیا در راستای تولید ژرمپلاسم سازگار است.

از نظر عادت رشدی، ۳۶ رقم بهاره، شش رقم زمستانه، شش رقم بینابینی و سه رقم نامشخص بودند. در میان ارقام بهاره، هشت رقم بهویژه رقم داراب ۲ عملکرد بالا، ۲۴ رقم عملکرد متوسط و چهار رقم عملکرد ضعیف داشتند. از نظر پایداری نیز ۱۳ رقم بهویژه ارقام مغان، ۲، مهدوی و مارون دارای پایداری مناسب، ۱۴ رقم دارای پایداری متوسط و نه رقم دارای پایداری ضعیفی دارا بودند. در ارقام زمستانه نیز ارقام کرج ۲، شاهی و شهریار دارای عملکرد متوسط و ارقام آذر، کرج ۳ و شاهپسند دارای عملکرد پایینی داشتند. عملکرد پایین گندمهای زمستانه می‌تواند به دلیل نوع کاشت پاییزه باشد. همچنین از نظر پایداری، رقم شهریار پایداری بالا، ارقام آذر، کرج ۲ و کرج ۳ پایداری متوسط و ارقام شاهی و شاهپسند پایداری ضعیفی داشتند. در بین گندمهای با عادت رشد بینابینی، از نظر عملکرد فقط رقم الوند دارای عملکرد بالایی بود و پنج رقم دیگر عملکرد متوسط داشتند. از نظر پایداری نیز ارقام آزادی، کرج ۱ و زرین در حالت مطلوب و ارقام الوند، نوید و سبلان نامطلوب بودند. از سه رقم با عادت رشدی نامشخص، رقم سیسون عملکرد بالا و ارقام فونگ و DN11 عملکرد متوسطی داشتند و از نظر پایداری رقم فونگ پایداری متوسط و ارقام سیسون و DN11 نیز پایداری نامطلوبی را نشان دادند (جدول ۶).

و شاهپسند دارای عملکرد ضعیف بودند و از نظر پایداری نیز ارقام عدل، آذر و روشن پایداری متوسط و رقم شاهپسند پایداری ضعیفی داشت. در باže زمانی ۲۵ سال میانی ۱۵ رقم معرفی شد که از این تعداد، ۱۳ رقم عملکرد متوسط و دو رقم بیستون و کرج ۳ عملکرد ضعیفی داشتند و از نظر پایداری نیز ۵ رقم در هر یک از سه گروه پایداری قرار گرفتند. در باže زمانی ۲۰ سال انتهایی نیز ۳۰ رقم معرفی شد که نه رقم بهویژه ارقام الوند، داراب ۲ و سیسون عملکرد بالا، ۱۸ رقم عملکرد متوسط و سه رقم نیکنژادی، زاگرس و ویناس عملکرد ضعیفی داشتند. از نظر پایداری نیز در این باže زمانی ۱۲ رقم بهویژه ارقام شهریار و مهدوی پایداری بالا، نه رقم پایداری متوسط و نه رقم پایداری ضعیف داشتند. در نهایت ارقام فونگ و DN11 که اطلاعاتی در باره زمان معرفی آن‌ها نبود، عملکرد متوسط و بهترتبی پایداری متوسط و ضعیفی نشان دادند (جدول ۵).

این نتایج نشان می‌دهند که بهنژادگران با گذشت زمان علاوه بر عملکرد به پایداری نیز توجه کردند و در معرفی ارقام با عملکرد بالا و پایداری مطلوب نیز تقریباً موفق بودند. اگرچه ۱۳ و ۳۰ درصد از ارقام معرفی شده در ۲۰ سال اخیر بهترتبی دارای عملکرد پایین و پایداری ضعیفی بودند و لزوم انجام آزمایش‌های دقیق‌تر در آینده را ایجاب می‌کنند، اما باید توجه داشت که این ارقام پس از آزمایش‌های چندناحیه‌ای معرفی شده‌اند و انجام آزمایش در یک مکان نمی‌تواند نتیجه قطعی به‌هرمراه داشته باشد. کریسپو-هررا و همکاران (Crespo-Herrera *et al.*, 2018) در بررسی عملکرد ژنتیک‌های گندم در ۷۴۰ مکان از ۶۶ کشور طی

جدول ۵- گروه‌بندی ژنتیک‌ها بر اساس عملکرد و پایداری به‌تفکیک باže زمانی معرفی رقم

Table 5. Grouping of genotypes based on yield and stability with time interval of introduction of cultivars

| Time interval | Number of genotype | Yield | | | Stability | | |
|---------------|--------------------|----------------------|-------------------------|------------------------|------------------------|------------------------|------------------------|
| | | More | Medium | Less | More | Medium | Less |
| 1942-62 | 4 (7.8%) | 1 (25%) ^a | 1 (25%) ^b | 2 (50%) ^c | 0 | 3 (75%) ^d | 1 (25%) ^e |
| 1967-81 | 15 (29.5%) | 0 | 13 (87.7%) ^f | 2 (13.3%) ^g | 5 (33.3%) ^h | 5 (33.3%) ⁱ | 5 (33.4%) ^j |
| 1986-06 | 30 (58.8%) | 9 (30%) ^k | 18 (60%) ^l | 3 (10%) ^m | 12 (40%) ⁿ | 9 (30%) ^o | 9 (30%) ^p |
| Unknown | 2 (3.9 %) | 0 | 2 (100%) ^q | 0 | 0 | 1 (50%) ^r | 1 (50%) ^s |
| Total | 51 | 10(19.6%) | 34 (66.7%) | 7 (13.7%) | 17 (33.3%) | 18 (35.3%) | 16(31.4%) |

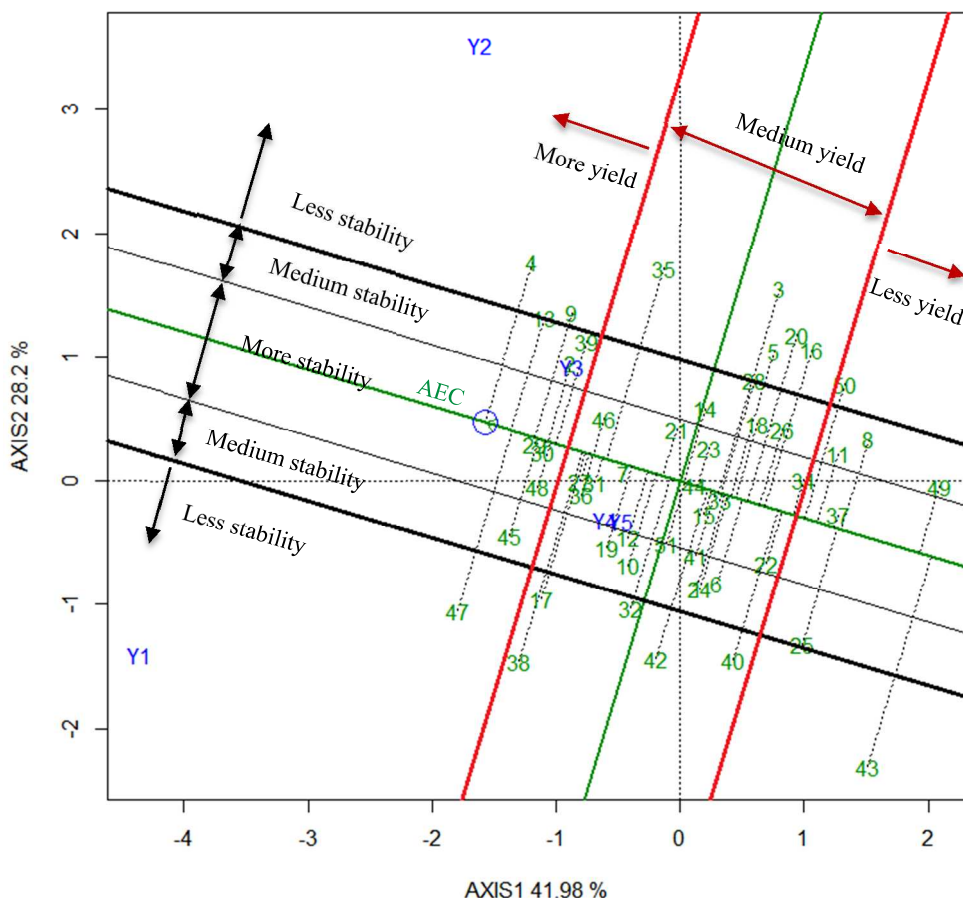
a. Roshan; b. Adl; c. Azar, Shahpassand; d. Adl, Azar, Roshan; e. Shahpassand; f. Alborz, Azadi, Bayat, Inia, Karaj1, Karaj2, Kaveh, Khazar1, Moghan1, Moghan2, Naz, Shahi, Sabalan; g. Biston, Karaj3; h. Azadi, Inia, Karaj1, Moghan2, Naz; i. Bayat, Biston, Karaj2, Karaj3, Kaveh; j. Alporz, Khazar1, Moghan1, Shahi, Sabalan; k. Maroon, Siosson, Alvand, Darab2, Mahdavi, Shiraz, Akbari, Bam, Sistan; l. Golestan, Ghods, Falat, Navid, Atrak, Zarrin, Chamran, Kavir, Shiroodi, Marvdasht, Dez, Hamoon, Pishtaz, Shahryar, Arta, Darya, Moghan3, Sepahan; m. Nicknejad, Zagros, VEE/NAC; n. Dez, Hamoon, Kavir, Mahdavi, Maroon, Marvdasht, Moghan3, Nicknejad, Shahryar, Shiroodi, Sistan, Zarrin; o. Akbari, Atrak, Chamran, Darab2, Darya, Chods, Sepahan, Shiraz, VEE/NAC; p. Alvand, Arta, Bam, Falat, Golestan, Navid, Pishtaz, Siosson, Zagros; q. DN11, Fong; r. Fong; s. DN11.

جدول ۶- گروه‌بندی ژنوتیپ‌ها بر اساس عملکرد و پایداری به‌تفکیک برای هر عادت رشدی

Table 6. Grouping genotypes based on yield and stability separately for each growth habit

| Habit | Number of Genotype | Yield | | | Stability | | |
|-------------|--------------------|------------------------|------------------------|-----------------------|-------------------------|-------------------------|------------------------|
| | | More | Medium | Less | More | Medium | Less |
| Spring | 36(70.5%) | 8 (22.2%) ^a | 24(66.7%) ^b | 4(11.1%) ^c | 13 (36.1%) ^d | 14 (38.9%) ^e | 9 (25%) ^f |
| Winter | 6 (11.8%) | 0 | 3 (50%) ^g | 3 (50%) ^h | 1 (16.7%) ⁱ | 3 (50%) ^j | 2 (33.3%) ^k |
| Facultative | 6 (11.8%) | 1 (16.7%) ^l | 5 (83.3%) ^m | 0 | 3 (50%) ⁿ | 0 | 3 (50%) ^o |
| Unknown | 3 (5.9%) | 1 (33.3%) ^p | 2 (66.7%) ^q | 0 | 0 | 1 (33.3%) ^r | 2 (66.7%) ^s |
| Total | 51 | 10(19.6%) | 34 (66.7%) | 7(13.7%) | 17 (33.3%) | 18 (35.3%) | 16(31.4%) |

a. Roshan, Maroon, Darab2, Mahdavi, Shiraz, Akbari, Bam, Sistan; b. Adl, Inia, Khazar1, Moghan1, Moghan2, Bayat, Alborz, Naz, Kaveh, Golestan, Ghods, Falat, Atrak, Chamran, Kavir, Shiroodi, Marvdash, Dez, Hamoon, Pishtaz, Arta, Darya, Moghan3, Sepahan; c. Biston, Nicknejad, Zagros, VEE/NAC; d. Inia, Moghan2, Naz, Maroon, Mahdavi, Nicknejad, Kavir, Shiroodi, Marvdash, Dez, Hamoon, Moghan3, Sistan; e. Roshan, Adl, Bayat, Biston, Kaveh, Ghods, Atrak, Darab2, Chamran, VEE/NAC, Shiraz, Akbari, Darya, Sepahan; f. Khazar1, Moghan1, Alborz, Golestan, Falat, Zagros, Pishtaz, Arta, Bam; g. Karaj2, Shahi, Shahryar; h. Azar, Karaj3, Shahpassand; i. Shahryar; j. Azar, Karaj2, Karaj3; k. Shahi, Shahpassand; l. Alvand; m. Azadi, Karaj1, Navid, Sabalan, Zarrin; n. Azadi, Karaj1, Zarrin; o. Alvand, Navid, Sabalan; p. Siosson; q. DN11, Fong; r. Fong; s. DN11, Siosson.



شکل ۲- ارزیابی ژنوتیپ‌ها در محیط‌های تحت آزمون به‌طور همزمان بر اساس عملکرد دانه و پایداری عملکرد

Figure 2. Evaluation of genotypes based on both yield and stability performance in experimental environments

بین میانگین عملکرد ارقام در تمام محیط‌ها (به عنوان متغیر وابسته) و سال معرفی ارقام (به عنوان متغیر مستقل) انجام و نتایج در شکل ۳ ارایه شد. نتایج نشان داد که با گذشت زمان، انتخاب با شیوه کم اما معنی‌دار در راستای افزایش

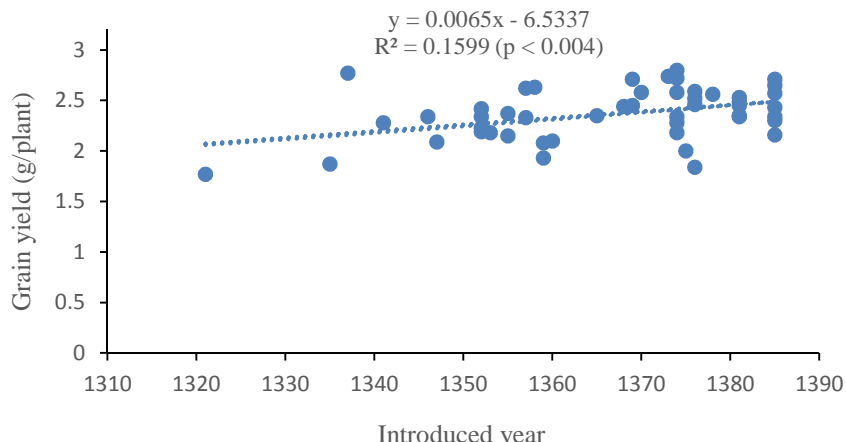
یکی از روش‌های رایج در میان روش‌های مختلفی که برای ارزیابی میزان پیشرفت ژنتیکی عملکرد دانه مورد استفاده قرار می‌گیرد، ارزیابی ارقام معرفی شده در زمان‌های متفاوت است. بر این اساس، تجزیه رگرسیون خطی ساده

شده‌اند (به خصوص ارقام مهدوی، مارون و سیستان) دارای عملکرد و پایداری عملکرد مناسب‌تری هستند. بنابراین در حالت کلی با گذشت زمان بهنژادگران آزمایشات دقیق‌تری نسبت به گذشته اجرا کرده و در معرفی ارقام حساسیت داشته‌اند. با این حال بایستی بر تلاش‌ها جهت معرفی ارقام گندم با عملکرد و پایداری بالا ادامه داد؛ زیرا برخی از ارقام که مربوط به سال‌های اخیر بودند، عملکرد بالا و پایداری ضعیف (ارقام الوند، بم و سیسون)، عملکرد نامطلوب و پایداری بالا (ارقام نیکنژاد و ویناس) و عملکرد و پایداری ضعیفی (رقم زاگرس) نشان دادند. از طرف دیگر بین عملکرد و پایداری ارقام با عادت رشدی آن‌ها ارتباط خاصی مشاهده نشد. اما همان‌گونه که انتظار می‌رفت کشت پاییزه منجر به افزایش عملکرد در ارقام بهاره شد.

عملکرد بوده است. این روش از سوی محققین مختلف مورد استفاده قرار گرفته است (Lopes *et al.*, 2012). آیساوی و همکاران (Aisawi *et al.*, 2015) گندم‌های معرفی شده از سال ۱۹۶۶ تا ۲۰۰۹ را طی سه سال در مرکز بین‌المللی سیمیت ارزیابی و گزارش کردند که روند بهبود عملکرد دانه گندم، آهسته و میزان افزایش عملکرد دانه فقط ۳۰ کیلوگرم در هکتار در هر سال (۵۹/۰ درصد) بود.

نتیجه‌گیری کلی

GGE biplot روشی مناسب برای ارزیابی همزمان عملکرد و پایداری ارقام می‌باشد که می‌تواند با استفاده از ابزارهایی به شکل ساده‌تری تفسیر گردد. نتایج این تحقیق نشان داد ژنتیک‌های گندم که در سال‌های اخیر معرفی



شکل ۳- رابطه بین میانگین عملکرد دانه ارقام گندم مورد مطالعه و سال معرفی آن‌ها

Figure 3. Relationship between the average yield of wheat cultivars with their introduced year

References

- Aisawi, K. A. B., Reynolds, M. P., Singh, R. P. and Foulkes, M. J. 2015. The physiological basis of the genetic progress in yield potential of CIMMYT spring wheat cultivars from 1966 to 2009. *Crop Science* 55 (4): 1749-1764.
- Alipour, H., Bihamta, M. R., Mohammadi, V., Peyghambari, S. A., Bai, G. and Zhang, G. 2017. Genotyping-by-sequencing (GBS) revealed molecular genetic diversity of Iranian wheat landraces and cultivars. *Frontiers in Plant Science* 8: 1293.
- Crespo-Herrera, L. A., Crossa, J., Huerta-Espino, J., Vargas, M., Mondal, S., Velu, G., Payne, T. S., Braun, H. and Singh, R. P. 2018. Genetic gains for grain yield in CIMMYT's semi-arid wheat yield trials grown in suboptimal environments. *Crop Science* 58: 1-9.
- De Leon, N., Jannink, J. L., Edwards, J. W. and Kaepller, S. M. 2016. Introduction to a special issue on genotype by environment interaction. *Crop Science* 56 (5): 2081-2089.
- Dia, M., Wehner, T. C., Hassell, R., Price, D. S., Boyhan, G. E., Olson, S., King, S., Davis, A. R., Tolla, G. E., Bernier, J. and Juarez, B. 2016. Value of locations for representing mega-environments and for discriminating yield of watermelon in the US. *Crop Science* 56 (4): 1726-1735.
- Elias, A. A., Robbins, K. R., Doerge, R. W. and Tuinstra, M. R. 2016. Half a century of studying genotype×environment interactions in plant breeding experiments. *Crop Science* 56 (5): 2090-2105.

- Esmaeilzadeh Moghaddam, M., Tahmasebi, S., Lotf Ali Ayeneh, Gh. A., Akbari Moghadam, H., Mahmoudi, Kh., Sayyahfar, M., Tabib Ghaffari, S. M. and Zali, H.** 2018. Evaluation of grain yield stability of bread wheat (*Triticum aestivum* L.) promising lines in warm and dry regions of Iran. *Iranian Journal of Crop Sciences* 20 (1): 270-283. (In Persian with English Abstract).
- Gauch, H. G. and Zobel, R. W.** 1996. AMMI analysis of yield trials. In: Kang, M. S. and Gauch, H. G. Jr. (Ed.). Genotype by environment interaction. CRC Press, Boca Raton, FL. pp: 85-122.
- Jafari, T. and Farshadfar, E.** 2018. Stability analysis of bread wheat genotypes (*Triticum aestivum* L.) by GGE biplot. *Cereal Research* 8 (2): 1-13. (In Persian with English Abstract).
- Laffont, J. L., Hanafi, M. and Wright, K.** 2007. Numerical and graphical measures to facilitate the interpretation of GGE biplots. *Crop Science* 47 (3): 990-996.
- Laffont, J. L., Wright, K. and Hanafi, M.** 2013. Genotype plus genotype \times block of environments biplots. *Crop Science* 53 (6): 2332-2341.
- Lin, C. S. and Binns, M. R.** 1994. Concepts and methods for analyzing regional trial data for cultivar and location selection. *Plant Breeding Reviews* 12: 271-297.
- Lin, C. S. and Binns, M. R.** 1988. A method of analyzing cultivar x location x year experiments: a new stability parameter. *Theoretical and Applied Genetics* 76 (3): 425-430.
- Lopes, M. S., Reynolds, M. P., Manes, Y., Singh, R. P., Crossa, J. and Braun, H. J.** 2012. Genetic yield gains and changes in associated traits of CIMMYT spring bread wheat in a "historic" set representing 30 years of breeding. *Crop Science* 52 (3): 1123-1131.
- Luo, J., Pan, Y. B., Que, Y., Zhang, H., Grisham, M. P. and Xu, L.** 2015. Biplot evaluation of test environments and identification of mega-environment for sugarcane cultivars in China. *Scientific Reports* 5: 15505.
- Macholdt, J. and Honermeier, B.** 2018. Stability analysis for grain yield of winter wheat in a long-term field experiment. *Archives of Agronomy and Soil Science* 65 (5): 686-699.
- Macholdt, J., Piepho, H. P. and Honermeier, B.** 2019. Mineral NPK and manure fertilisation affecting the yield stability of winter wheat: Results from a long-term field experiment. *European Journal of Agronomy* 102 :14-22.
- Mohammadi, M., Hosseinpour, T., Armion, M., Khanzadeh, H. and Ghojogh, H.** 2016. Analysis of genotype, environment and genotype \times environment interaction in bread wheat genotypes using gge biplot. *Agricultural Communications* 4 (3): 1-8.
- Mohammadi, R., Armion, M., Zadhasan, E., Ahmadi, M. M. and Sadeghzadeh, A. D.** 2012. Genotype \times environment interaction for grain yield of rainfed durum wheat using the GGE bipot model. *Seed and Plant Improvement Journal* 28 (3): 503-518. (In Persian with English Abstract).
- Moreno-Gonzalez, J., Crossa, J. and Cornelius, P. L.** 2004. Genotype \times environment interaction in multi-environment trials using shrinkage factors for AMMI models. *Euphytica* 137: 119-127.
- Najafi Mirak, T., Dastfal, M., Andarzian, B., Farzadi, H., Bahari, M. and Zali, H.** 2019. Evaluation of durum wheat cultivars and promising lines for yield and yield stability in warm and dry areas using AMMI and GGE biplot. *Journal of Crop Breeding* 10 (28): 1-12. (In Persian with English Abstract).
- Najafian, G., Kafashi, A. and Jafarnezhad, A.** 2010. Analysis of grain yield stability in hexaploid wheat genotypes grown in temperate regions of Iran using additive main effects and multiplicative interaction. *Journal of Agricultural Science and Technology* 12: 213-222.
- Vaezi, B., Pour-Aboughadareh, A., Mohammadi, R., Armion, M., Mehraban, A., Hossein-Pour, T. and Dorii, M.** 2017. GGE biplot and AMMI analysis of barley yield performance in Iran. *Cereal Research Communications* 45 (3): 500-511.
- Whaley, R. and Eskandari, M.** 2019. Genotypic main effect and genotype-by-environment interaction effect on seed protein concentration and yield in food-grade soybeans (*Glycine max* (L.) Merrill). *Euphytica* 215 (2): 1-17.
- Yan, W. and Kang, M. S.** 2002. GGE biplot analysis: A graphical tool for breeders, geneticists and agronomists. CRC Press.
- Yan, W., Hunt, L. A., Sheng, Q. and Szlavnics, Z.** 2000. Cultivar evaluation and mega-environment investigation based on the GGE biplot. *Crop Science* 40 (3): 597-605.
- Yan, W., Kang, M. S., Ma, B., Woods, S. and Cornelius, P. L.** 2007. GGE biplot vs. AMMI analysis of genotype-by-environment data. *Crop Science* 47 (2): 643-653.



University of Guilan
Faculty of Agricultural
Sciences

Cereal Research
Vol. 9, No. 2, Autumn 2019 (157-167)

Investigating grain yield and yield stability of wheat cultivars introduced in Iran over the last half century

Hadi Alipour^{1*}, Hossein Abdi², Yousef Rahimi³ and Mohammad Reza Bihamta⁴

Received: May 20, 2019

Accepted: September 21, 2019

Abstract

Breeding for yield and yield stability has always been the main goal for breeders. In the current research, yield and yield stability of 51 wheat cultivars introduced over the last half century were evaluated in a randomized complete block design with two replications during five years. Analysis of variance revealed that genotype \times environment interaction was significant. Therefore, the pattern of genotype \times environment variation was analyzed using graphical method. According to the results of GGE biplot analysis, the first and second components as genotype and genotype \times environment interaction components, explained 41.98% and 20.28% of the total variation, respectively. Simultaneous pattern of yield and yield stability divided the studied cultivars into three groups including desirable, moderate and undesirable. Among the studied cultivars, Mahdavi, Maroon and Sistan showed high yield and yield stability, while Shahpassand and Zagros had a low yield and yield stability. The results of this study showed that breeders have successfully introduced the genotypes with high yield and good stability over time, however due to the complexity of yield and yield stability traits, 10% of genotypes with low yield and 30% with poor stability have been introduced during 1986-2006, which confirms the need for more accurate tests in the future. Winter genotypes showed lower yield and yield stability compared to spring and facultative cultivars. Since, spring cultivars showed high yield in autumn cultivation, it is therefore recommended to cultivate spring cultivars in autumn as well.

Keywords: Adaptability, Genotype \times environment interaction, GGE biplot, Mosaic plot

1. Assist. Prof., Dept. of Plant Production and Genetics, Faculty of Agriculture and Natural Resources, Urmia University, Urmia, Iran

2. Ph. D. Student, Dept. of Plant Production and Genetics, Faculty of Agriculture and Natural Resources, Urmia University, Urmia, Iran

3. Ph. D. Student, Dept. of Agronomy and Plant Breeding, College of Agriculture and Natural Resources, University of Tehran, Karaj, Iran

4. Prof., Dept. of Agronomy and Plant Breeding, College of Agriculture and Natural Resources, University of Tehran, Karaj, Iran

* Corresponding author: alipourhadi64@gmail.com